



بهینه‌یابی مناسبترین مدل برآورد رسوب معلق رودخانه‌ی سد آبشنیه همدان

علی‌رضا ایلدرمی^{۱*}، مهران محمدپناه مقدم^۲

۱- دانشیار ژئومورفولوژی، دانشگاه ملایر، ملایر، ایران

۲- کارشناسی ارشد آبخیزداری، دانشگاه ملایر، ملایر، ایران

تأیید نهایی مقاله: ۱۴۰۰/۰۱/۱۵

وصول مقاله: ۱۳۹۹/۰۶/۱۸

چکیده

مدل‌های ریاضی با استفاده از معادلات حاکم بر انتقال، توزیع و انباشت رسوب، یکی از روش‌های کارآمد برای پیش‌بینی و برآورد بار معلق رودخانه‌ها محسوب می‌شوند. در این بررسی بار معلق رودخانه سد آبشنیه همدان با استفاده از مدل‌های USBR، منحنی حد وسط دسته‌ها، منحنی سنجه فصلی و FAO برآورد و ضمن نمونه‌برداری مستقیم از بار معلق، مدل‌ها با روش اصلاحی تبدیل لگاریتمی (GS⁺) و مدل آماری CF1، CF2 ارزیابی و مناسب‌ترین مدل برآورد بار معلق رودخانه انتخاب شد. نتایج نشان داد که مدل فائق به دلیل بررسی پارامترهای بیشتر در شرایط مرزی و کمترین مقدار ضرایب تصحیح CF1 و CF2 و خطای کمتر میزان رسوبات بار معلق را با دقت و کارایی قابل قبول تری محاسبه نموده و از برآش و تطابق بیشتری با مقدایر رسوب مشاهداتی برخوردار است. بررسی‌ها نشان می‌دهد که مدل‌های مختلف هیدرولوژیکی نتایج متفاوتی نسبت به هم داشته و تقسیم‌بندی داده‌ها بر حسب زمان وقوع، تأثیر فراوانی در کاهش خطای دارد، به طوری که مدل فائق با کمترین درصد خطای نسبی و میانگین توان دوم خطای ترتیب به میزان ۹۹/۵۸ درصد و ۱۰۰/۰ به عنوان روش بهینه و مدل دوره‌ی مشابه هیدرولوژیکی با بیشترین درصد خطای نسبی به میزان ۱۰۰/۳۴ و ضریب همبستگی پایین به عنوان نامناسب‌ترین مدل برآورد رسوب معلق رودخانه‌ی آبشنیه انتخاب شدند. نتایج نشان داد که مدل فائق در برآورد میزان رسوب معلق رودخانه با ضرایب تصحیح CF1=1.24 و CF2=1.46 و کمترین میزان خطای نسبت به مدل USBR خطی با CF1=1.87 و CF2=1.97 و حد وسط با CF1=2.43 و CF2=3.01 از دقت بیشتری برخوردار است. پیشنهاد می‌شود در مدل‌های برآورد بار معلق رودخانه‌ها بازنگری و از مدل‌های با کمترین خطای استفاده گردد.

کلمات کلیدی: بار معلق، مدل فائق، مدل USBR، منحنی سنجه رسوب، رودخانه‌ی آبشنیه، همدان

۱- مقدمه

ارزیابی فرسایش و رسوب در رودخانه‌ها دارای پیچیدگی‌های فراوانی بوده و استفاده عملی از نتایج بررسی‌ها مستلزم دقت و توجه زیادی است (گریک و همکاران^۱، ۲۰۱۲: ۳۰). در حال حاضر از طریق داده‌های اندازه‌گیری بار معلق و به کمک منحنی سنجه رسوب می‌توان رسوب انتقالی رودخانه را برآورد نمود. اگرچه همواره با مقداری خطا همراه می‌باشد، اما این داده‌ها در بسیاری از پروژه‌های مدیریت منابع آب بسیار مهم می‌باشند (زانگ و همکاران^۲، ۲۰۱۲: ۳۵). در این رابطه مدل‌های ریاضی شبه دو بعدی به عنوان یک راه حل بهینه و کارآمد، در مباحث هیدرولیک جریان و رسوب رودخانه‌ها و کاهش خطاهای موجود کاربرد گسترده‌ای یافته‌اند (ظهیری و همکاران، ۲۰۱۸: ۸۳). بررسی و مرور منابع نشان می‌دهد که تحلیل ریاضی و عددی ظرفیت انتقال رسوب و تغییرات آن در رودخانه‌ها به دلیل کاربرد دقیق و مطابق با واقعیت در سال‌های اخیر مورد توجه بسیاری از محققان قرار گرفته است که می‌توان به موارد زیر اشاره نمود:

در تحقیقات صورت گرفته به منظور ارائه مدل بهینه برآورد بار معلق حوضه نشان داده شد که مدل هیدرولوژیکی، پوشش گیاهی و اقلیمی به ترتیب با داشتن کمترین میزان خطا، به عنوان مدل‌های بهینه برآورد بار معلق می‌باشند. رمضانی پور و همکاران (۲۰۱۷)، بعلاوه در یک بررسی دیگر در رابطه با تحلیل و مقایسه بار معلق حوضه‌های آبخیز خزر و ایران مرکزی با استفاده از روابط متغیرهای بارش، دبی و رسوب معلق مدل‌های نسبتاً خوبی حاصل شده است. فرجزاده و همکاران (۲۰۱۷). در حال حاضر جهت برآورد بار رسوب ماهانه ایستگاه‌های حوضه با استفاده از مدل MPSIAC^۳ و ریزمقیاس نمایی آبشاری، مشخص شد که دو عامل فرسایش رودخانه‌ای و فرسایش سطحی بیشترین امتیاز را دارند. نورانی و همکاران (۲۰۱۷). بررسی‌ها نشان می‌دهد که مدل‌سازی میزان رسوب رودخانه با استفاده از روش شبکه عصبی مصنوعی نیاز دقت بهتری در تخمین میزان رسوب حوضه برخوردار است. ابوالفتحی و همکاران (۲۰۱۸). بررسی اثر مقیاس زمانی در پیش‌بینی بار معلق با استفاده از مدل‌های مبتنی بر یادگیری ماشین برای داده‌های روزانه، نشان می‌دهد که مدل k نزدیک‌ترین همسایه، برای داده‌های ماهانه و سالانه مدل فرآیند گوسی مناسب‌ترین مدل پیش‌بینی بار معلق می‌باشند. اسدی و همکاران (۲۰۱۷). مقایسه و ارزیابی روش‌های برآورد رسوب معلق بیانگر این است که تغییر منطقه اقلیمی بین ایستگاه‌های مورد بررسی موجب تغییر مدل‌های بهینه برآورد رسوب معلق انتخابی می‌شود. غلامی و همکاران (۲۰۱۷). همچنین مشخص شده که در بررسی پدیده‌های زمانی منحنی سنجه رسوب معلق حوضه مدل سری زمانی تابع انتقال در مقایسه با سایر مدل‌ها از عملکرد بالاتری برخوردار است. رئیسی و همکاران

1- Gericke et al.

2- Jhang et al.

3- Modified Pacific Southwest Inter -Agency Committee

(۲۰۱۹). و در مدل‌سازی رابطه‌ی میزان رسوبات معلق و ویژگی‌های هیدرولوژیکی و محیطی حوضه بیان شده که چهار عامل دبی و متوسط بارندگی سالانه، ضریب هورتون و ارتفاع متوسط حوضه مهم‌ترین پارامترهای مؤثر در برآورد رسوبات معلق می‌باشند. هنربخش و همکاران (۲۰۱۹)، در برخی از تحقیقات بهینه‌سازی ضرایب معادله سنجه رسوب نشان داده شده که، مدل الگوریتم ژنتیک عملکرد بهتری نسبت به منحنی سنجه رسوب دارد. ناصری و همکاران (۲۰۱۹). بررسی‌ها نشان می‌دهد که در مدل‌سازی فرسایش خاک و اولویت‌بندی تولید رسوب حوضه با استفاده از مدل‌های SWAT^۱ و MUSLE^۲، مناطق بحرانی با مقادیر تولید رسوب زیاد و خیلی زیاد در بالادست حوضه قرار دارند. کرمی و همکاران (۲۰۱۹). در تحقیقی جهت بررسی تغییرات زمانی و مکانی منحنی سنجه رسوب در رودخانه با استفاده از مدل‌های شبه دو بعدی نشان داده شد که استفاده از شرایط آزمایشگاهی و مقایسه آن با داده‌های محاسباتی می‌تواند به حل معادلات شبیه‌سازی رسوب و برآورد دقیق‌تر کمک نماید. هو و همکاران^۳ (۲۰۱۱)، در مدل‌سازی و بررسی چند فازی انتقال رسوب و فرسایش بستر و تغییرات مورفودینامیک ساحلی رودخانه مشخص شد که با مدل‌سازی عددی انتقال رسوب و فرسایش و آزمون چند فازی می‌توان نقص‌ها و محدودیت‌های داده‌های تجربی را بطرف نمود. اوادا^۴ (۲۰۱۹). در بررسی ظرفیت انتقال جریان و رسوب با مدل سه بعدی برای کانال‌های رو باز سطح آزاد مشاهده شد که مدل شبیه‌سازی خوبی بین جریان و رسوبات جهت پیش‌بینی، ارائه و با داده‌های تجربی مطابقت خوبی دارد. لی و همکاران^۵ (۲۰۱۹). در حال حاضر برای شبیه‌سازی مقدار رسوب در مخزن سد از دو مدل، 2D و نوع متوسط یا گودونف^۶ استفاده می‌شود و با مطالعه مدل فیزیکی و یک فلوم آزمایشگاهی می‌توان فرسایش جانبی و تغییرات بستر را براساس مقدار دبی و ویژگی‌های مورفولوژیکی کanal متغیر بررسی و با نتایج آزمایشگاهی نیز مطابق داد، تا نتایج خوبی به دست آید. ایکبال و همکاران^۷ (۲۰۱۹). بررسی و مرور منابع نشان می‌دهد در سال‌های اخیر به جهت تغییر کاربری اراضی، برداشت شن و ماسه از بستر و ساخت و سازها در حریم رودخانه‌ها بار معلق و در نتیجه فرسایش در حوضه‌های آبریز کشور افزایش یافته است. در پژوهش حاضر سعی شده تا با بکارگیری مدل‌های منحنی سنجه، شامل منحنی سنجه خطی، خطی شکسته (چند خطی)، حد وسط داده‌ها، فصلی و FAO، و بر اساس معیارهای آماری و با مشاهدات واقعی (داده‌های اندازه‌گیری شده) برای یک دوره‌ی معین از رسوب معلق و جریان آب، مناسب‌ترین مدل برآورد بار معلق حوضه‌ی آبریز رودخانه‌ی سد آبشنیه همدان تعیین شود. تا

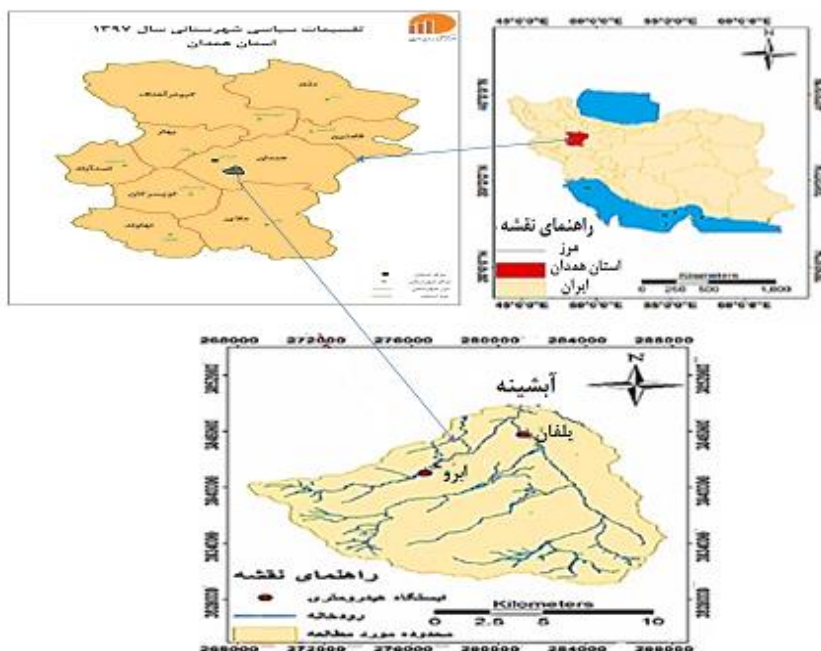
1- Modified Universal Soil Loss Equation
2- Soil and Water Assessment Tool
3- Hu, Bangqi
4- Ouda

5- Lai, et al.
6- Godunov
7- Iqbal, et al.

بتوان از نتایج پیش‌بینی و برآورد دقیق بار معلق، در طراحی، اجرای سازه‌ها و طرح‌های ساماندهی رودخانه‌ی آبشینه همدان استفاده نمود)

۲- مواد و روش

حوضه‌ی آبریز سد آبشینه در جنوب شهرستان همدان بین $34^{\circ} 53' 40''$ و $34^{\circ} 45'$ عرض شمالی و $48^{\circ} 42' 48''$ و $48^{\circ} 40'$ طول شرقی واقع شده و از زیرحوضه‌های رودخانه‌ی قره‌چای همدان می‌باشد (شکل ۱). دبی متوسط رودخانه‌ی آبشینه $5/2$ متر مکعب در ثانیه در سال است. متوسط بارندگی سالیانه حوضه $312/9$ میلی‌متر و متوسط درجه حرارت سالیانه آن $11/3$ درجه سانتی‌گراد است. از نظر سنگ‌شناسی دارای سنگ‌های نفوذی و دگرگونی از نوع گرانیت، شیست، هورنفلس و به شکل محدود دارای تشکیلات آهکی می‌باشد.



شکل (۱): موقعیت منطقه‌ی مورد مطالعه

Fig. (1): Location of the study area

در این بررسی مجموعه داده‌های متناظر آمار دبی جریان و رسوب ثبت شده در ایستگاه هیدرومتری آبشینه از سازمان آب منطقه‌ای استان همدان مربوط به سال‌های آماری کامل یعنی اول مهر ۸۶ تا پایان شهریور ۹۶ برای برآش داده‌ها انتخاب و مورد تجزیه و تحلیل قرار گرفت. جهت بررسی داده‌های مورد استفاده ابتدا اقدام به

کنترل، تصحیح و بازسازی داده‌های ایستگاه‌ها، جهت آزمون کفايت، آزمون داده‌های پرت و آزمون نرمال بودن گردید. سپس جهت اطمینان از همگنی داده‌ها، با استفاده از آزمون کولموگروف-اسمیرنوف در محیط نرم افزار SPSS تست همگنی انجام گرفت. با اطمینان از کافی و همگن بودن داده‌ها، مدل‌های سنجه-رسوب در مورد داده‌های متناظر دبی جریان (Q_w) و دبی رسوب (Q_s) مورد آزمون قرار گرفتند. در ادامه جهت برآورد بار معلق رودخانه از مدل‌های منحنی سنجه رسوب USBR، منحنی حد وسط دسته‌ها، منحنی سنجه فصلی و FAO و ضمن نمونه‌برداری مستقیم از بار معلق، از رابطه توانی دبی و رسوب (غلظت رسوب) و برای ضریب‌های اصلاحی منحنی‌های سنجه رسوب از روش تبدیل لگاریتمی و برازش خطاب بر داده‌های تبدیل یافته، استفاده شد. همچنین جهت کاهش و رفع محدودیت‌هایی تبدیل لگاریتمی برای تعیین ضریب منحنی سنجه و انتخاب مدل مناسب، از روش‌های تحلیل آماری کریجینگ و مدل G^+ نیز استفاده شده است.

۲-۱- مدل سنجه رسوب یک خطی یا روش U.S.B.R^۱

با استفاده از میزان دبی رودخانه در زمان برداشت نمونه، یک رابطه‌ی ریاضی غیرخطی بین بار معلق و دبی جریان و یک رابطه‌ی رگرسیونی به صورت معادله‌ی توانی منحنی سنجه رسوب برقرار می‌گردد.

$$Q_s = aQ_w^b \quad (1)$$

که در این معادله مقدار a ضریب فاصله قائم محل تقاطع خط بهترین برازش با محور قائم تا مبدأ مختصات و مقدار نمای b برابر با شیب خط بهترین برازش می‌باشند.

$$\log a = \frac{\sum_{i=1}^n \log Q_s - b \sum_{i=1}^n \log Q_w}{N} \quad (2)$$

$$b = \frac{(\sum_{i=1}^n \log Q_w \times \log Q_s) - (\sum_{i=1}^n \log Q_w \times \sum_{i=1}^n \log Q_s)}{N(\sum_{i=1}^n (\log Q_w)^2 - \sum_{i=1}^n (\log Q_s)^2)} \quad (3)$$

در این روش پس از تعیین غلظت نمونه‌های رسوب در دبی رودخانه‌ی آبشنیه (جدول ۱)

جدول (۱): مقادیر غلظت نمونه‌های رسوب در دبی حوضه‌ی آبریز آبشینه

Table (1): Concentration values of sediment samples in the discharge of Abshineh Watershed

دبی رسوبی (t/d)	دبی (m ³ /s)
۰/۴۱۱۲۶۴	۰/۲۸
۴۰۱/۵۸۶	۴/۳۵
۴۷۱۳/۳۸۹	۶/۱
۲۲/۳۹۳۲	۲/۵۳
۳/۷۷۹۰۲	۰/۵۹
۲/۴۵۱۷۳	۰/۸۷
۱۵۳۲/۶۴۳	۵/۶۴
۱۳۵۲/۱۹۲	۷
۲۰۴۰۰/۴۱	۳۲/۱
۲۱۸۰/۶۵۳	۱۳/۰۷
۳۶۶۴/۰۳۶	۸/۱
۲۱/۷۷۹۷۱	۴/۶
۱۱/۵۱۱۸۵	۱/۱۵
۰/۶۴۰۴۶۶	۰/۱۱۳
۳۰۸۹/۳۶	۱۷/۴۳

۲-۱- منحنی سنجه رسوب (مدل خطی شکسته) یا چند خطی U.S.B.R

در این روش بر اساس توصیه U.S.B.R بر مبنای دبی جریان رودخانه رودخانه به جای یک خط رگرسیون می‌توان دو یا چند خط از میان داده‌های اندازه‌گیری شده عبور داد که خط بهترین برازش نیز بر مبنای روش حداقل مربعات می‌باشد. خطوط برازش داده شده باستی از ضریب همبستگی قابل قبولی برخوردار باشند.

۲-۲- منحنی سنجه رسوب حد وسط داده‌ها

روش حد وسط دسته‌ها عبارت است خطی که بر تمام نقطه‌های میانگین دسته برازش یافته باشد، بنابراین خط رگرسیونی باید از میانگین بار معلق در هر جریان معین عبور کند. در این تحقیق جهت برآورد بار رسوب معلم ابتداء دبی جریان بر اساس یک نمونه معین به ۱۵ دسته تقسیم و برای متوسط هر دسته، میانگین رسوب همان دسته تعیین گردید (اسدی و همکاران، ۱۴۰۰: ۱۷).

۲-۳- مدل منحنی سنجه رسوب فصلی

اساس این مدل شبیه مدل خطی U.S.B.R می‌باشد با این تفاوت که در این مدل تفکیک داده‌ها بصورت فصلی مورد بررسی قرار گرفته است.

۲-۵-مدل FAO یا روش سازمان خواربار و کشاورزی

در این روش، ابتدا بهترین خط با معادله درجه ۲ به روش حداقل مربعات، به مقادیر لگاریتمی (نه مقادیر واقعی)، برآش داده شد تا بار معلق برآورد شده برای هر دبی جریان مشاهده شده (Q_w) در طول دوره‌ی آماری ۸۶-۱۳۹۶) به حالت مقادیر حداقل مشاهداتی، نزدیک‌تر باشد. به منظور تعدیل ارقام در معادله منحنی سنجه رسوب به جای a از ضریب a' که از رابطه‌ی زیر بدست می‌آید، استفاده شد (رئیسی و همکاران، ۱۹۷۰: ۸۳).

که در آن مقدار a' از تقسیم میانگین‌های Q_w و Q_s متناظر اندازه‌گیری شده به دست می‌آید.

$$a' = \frac{Q_s}{Q_w} \quad (4)$$

$$Q_s = a' Q_w^b \quad (5)$$

$$a' = \bar{Q}_s \sqrt{Q_w^b} \quad (6)$$

۲-۶-روش دوره‌ی مشابه هیدرولوژیکی

در این روش بر اساس تشابه تغییرات هیدرولوژیکی در ماههای سال، هر سال آبی در رودخانه‌ی آشینه به سه دوره‌ی A (خرداد، تیر، مرداد و شهریور)، B (مهر، آبان، آذر، دی و بهمن) و C (اسفند، فروردین و اردیبهشت) تقسیم و برای هر دوره، منحنی سنجه آن ترسیم گردید.

۲-۷-مدل منحنی سنجه بار معلق با کاربرد روش اصلاح خطای ناشی از تبدیل لگاریتمی (CF)

برای حذف آثار ضریب اصلاحی، از روابط ۷ و ۸ استفاده شده که در آن n تعداد نمونه‌های دبی بار معلق، $\log Qs_01$ ، $\log QScd$ لگاریتم مقدار مشاهداتی دبی بار معلق و $\log QScd$ لگاریتم مقدار محاسباتی دبی بار معلق است (روابط ۷ و ۸).

$$CF = XP[2.6^2] \quad (7)$$

$$\Sigma(\log Qs_01 - \log QScd)/(n - 2)^2 \quad (8)$$

۲-۸-همبستگی بین بار معلق و دبی جریان

در این بررسی با اندازه‌گیری بار معلق در اکثر ایستگاه‌های آبسنجدی رودخانه‌ی آشینه رابطه‌ی بین بار معلق (Q_s) و دبی جریان (Q_w) محاسبه شد. این رابطه به شکل کلی زیر است:

$$Q_s = a Q_w^b \quad (9)$$

۹-۲- معیارهای ارزیابی مدل‌ها

جهت ارزیابی مدل‌ها، انتخاب بهترین مدل و تعیین دقت آن، از شاخص‌های میانگین توان دوم خطای، ضریب همبستگی و ضریب تبیین استفاده شد. (روابط ۱۰، ۱۱ و ۱۲). با در نظر گرفتن معیارهای انتخاب مدل بهینه روش بهینه با استفاده از روابط زیر، انتخاب شد. در روابط زیر: SSE: مجموع مربعات خطای، R^2 و MSE : میانگین مربعات خطای، Q_{sio} : دبی بار معلق اندازه‌گیری شده، Q_{sic} : دبی بار معلق محاسبه شده، Q_{wi} : دبی جریان اندازه‌گیری شده، \bar{Q}_w : میانگین دبی جریان اندازه‌گیری شده، \bar{Q}_s : میانگین بار معلق اندازه‌گیری شده، درجه آزادی و R ضریب همبستگی می‌باشد.

$$SSE = \sum_{i=1}^n (\log Q_{sio} - \log Q_{sic})^2 \quad (10)$$

$$MSE = \frac{SSE}{DF} \quad (11)$$

$$R = \frac{\sum_{i=1}^n (\log Q_{sic} - \log \bar{Q}_s)(\log Q_{wi} - \log \bar{Q}_w)}{\sqrt{\sum_{i=1}^n (\log Q_{sic} - \log \bar{Q}_s)^2 \sum_{i=1}^n (\log Q_{wi} - \log \bar{Q}_w)^2}} \quad (12)$$

در مرحله‌ی بعد جهت ارزیابی مدل مناسب اقدام به اندازه‌گیری بار معلق رسوبی در طی یک دوره‌ی ۳۰ روزه گردید. ضمن اینکه در طول این مدت هر روز دو بار به روش نمونه‌برداری تجمعی نقطه‌ای از بار معلق رودخانه نمونه‌برداری شد. بعد از توزین غلظت نمونه‌های رسوب بر حسب میلی‌گرم در لیتر و با توجه به دبی جریان همزمان اندازه‌گیری شده، میزان دبی رسوب از رابطه‌ی ۱۳ تعیین گردید. در این رابطه Q_s : دبی بار رسوبی معلق بر حسب تن بر روز، Q_w : دبی جریان بر حسب متر مکعب بر ثانیه، C: متوسط غلظت مواد رسوبی بر حسب میلی‌گرم بر لیتر می‌باشد.

$$Q_s = 0.0864 \times C \times Q_w \quad (13)$$

جهت ارزیابی دقت مدل‌های مورد استفاده در برآورد بار رسوب با میزان اندازه‌گیری شده از معیار آماری میانگین درصد خطای نسبی (RME) استفاده گردید (روابط ۱۴ و ۱۵).

$$RME = \frac{\sum_{i=1}^n RE_i}{n} \quad (14)$$

1- Mean Error Endex

2- determination coefficient

3- Mean squared error

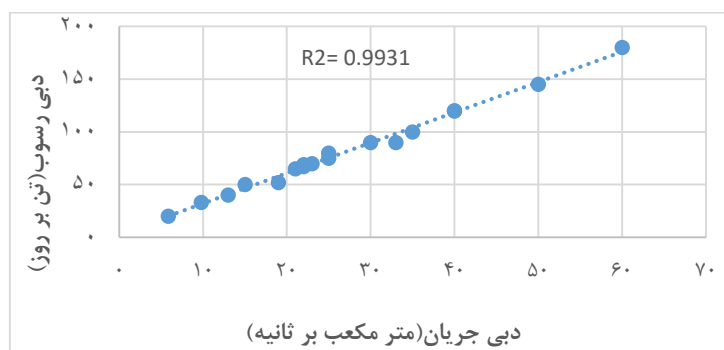
$$RE_i = \left| \frac{S_o - S_c}{S_o} \right| \times 100 \quad (15)$$

در این معادلات: RME میانگین درصد خطای نسبی، RE_i : درصد خطای نسبی هر برآورد، S_o : میزان رسوب معلق اندازه‌گیری شده (مشاهده شده)، S_c : میزان رسوب معلق برآورده شده و n : تعداد دفعات مقادیر برآورده شده رسوب معلق می‌باشد.

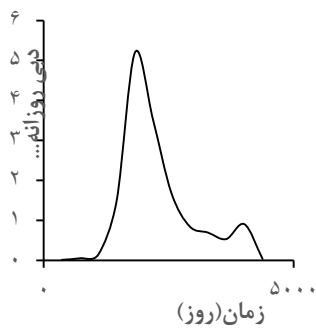
۱۰-۲-داده‌های مورد نیاز

در این بررسی داده‌های ۱۰ سال آبی (اول مهر ۸۶ تا پایان شهریور ۹۶)، برای برآش داده‌های هیدرومتری سد آبشنیه استفاده شد (اشکال، ۲، ۳ و ۴). همچنین اطلاعات رسوب معلق ایستگاه آبشنیه به عنوان شرط مرزی ورودی و جهت واسنجی به کار گرفته شد (شکل ۵). با توجه به اطلاعات مصالح بستر و بررسی نمونه‌های رسوبی منحنی‌های دانه‌بندی تهیه و مشخص شد که ذرات بار معلق رودخانه از رسوبات رس و سیلت می‌باشد (شکل ۳ و ۶). رابطه‌ی دبی جریان و دبی رسوب را برای یک روز به صورت نمونه ارائه داده که از خروجی مدل GS+ همبستگی و دقت داده‌های مورد استفاده از لحاظ آماری را نشان می‌دهد. بعلاوه چون منطقه‌ی مورد مطالعه بواسطه وجود سد مخزنی اکباتان و پایین‌دست آن سد آبشنیه که هردو از حساسیت بالای از لحاظ طغیان‌های فصلی و بار رسوبی معلق برخوردار است، دارای دو ایستگاه هیدرومتری و رسوب‌سنجی است و داده‌ها به صورت ۲۴ ساعته ثبت و نگهداری می‌شود. بنابراین با دسترسی به این داده‌ها بررسی دقیقی از لحاظ میزان رسوب وارد به مخزن انجام شده، که نمودارهای آن در شکل‌های ۲ الی ۵ ارائه و تحلیل‌های بعدی نیز با تکیه به این آمارها انجام شده است.

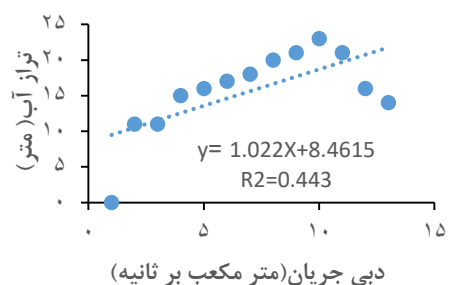
$$Q_s = ۳/۲۸۷۶ \quad Q_w = ۲/۸۷۸۹ \quad (16)$$



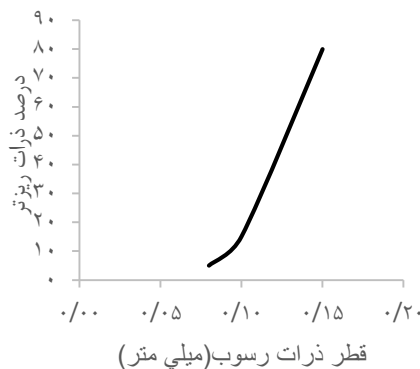
شکل (۲): رابطه‌ی بین دبی جریان و رسوب حوضه‌ی آبریز آبشنیه همدان طی سال‌های آماری (۱۳۹۶-۱۳۸۶)
Fig. (2): Relationship between flow discharge and sediment on Hamedan Abshineh Watershed
(during statistical years (2007-2017))



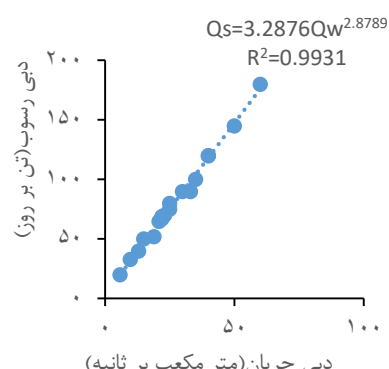
شکل(۴): منحنی دبی - اشل حوضه‌ی آبریز آبشینه (شرط مرزی پایین دست)
Fig. (4): discharge -(Eshel)rating Curve of the Abshineh Watershed (Downstream border condition)



شکل(۳): هیدروگراف کمیت دبی جریان روزانه حوضه‌ی آبریز آبشینه (شرط مرزی بالا دست)
Fig. (3): Hydrograph flow discharge rate the day Abshineh Watershed (Upstream border condition)



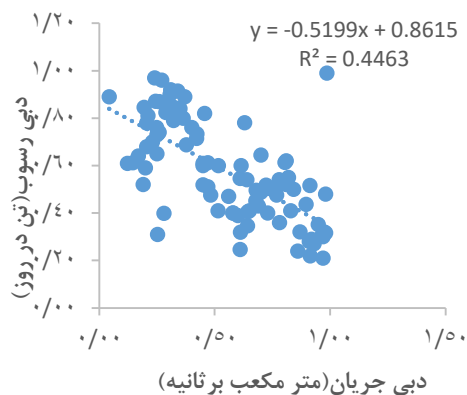
شکل(۶): منحنی دانه‌بندی ذرات حوضه‌ی آبریز آبشینه
Fig. (6): Particle size distribution curve of Abshineh Watershed



شکل(۵): منحنی سنجه رسوپ معلق ایستگاه آبشینه
Fig. (5): Suspended sediment rating curve of Abshineh station

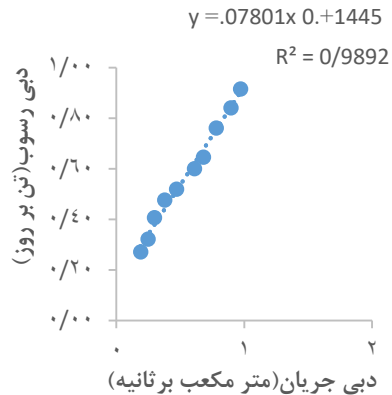
۳- یافته‌ها و بحث

در این بررسی ابتدا با استفاده از روش‌های مختلف آماری (تکخطی، حد وسط، فائق، فصلی و روش دوره مشابه هیدرولوژیکی) همبستگی داده‌ها و روابط رگرسیونی آن‌ها محاسبه و نمودارهای هریک از آن‌ها ترسیم شد اشکال (۷ الی ۱۶).



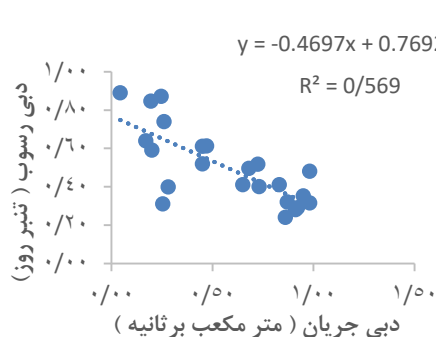
شکل (۸): منحنی سنجه رسوب حد وسط دسته‌ها

Fig. (8): Sediment rating curve in the Average of the categories



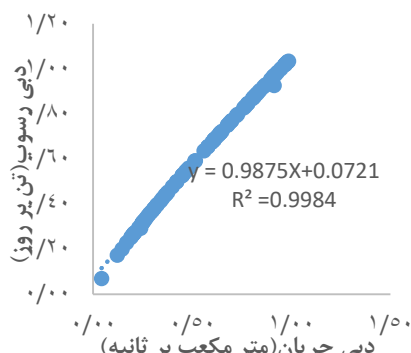
شکل (۷): منحنی سنجه رسوب تک خطی

Fig. (7): Single-line sediment rating curve



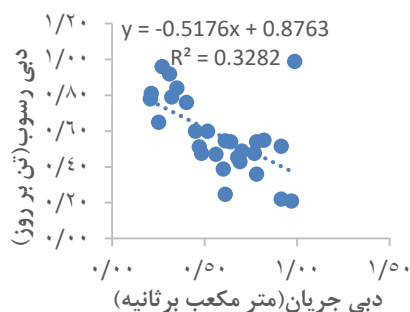
شکل (۱۰): منحنی سنجه رسوب فصلی پاییز

Fig. (10): Autumn seasonal sediment rating curve



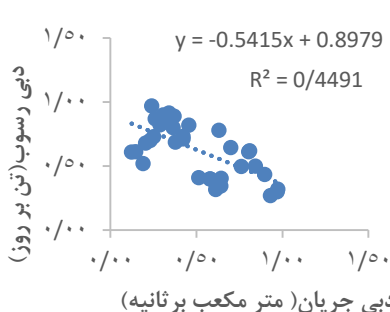
شکل (۹): منحنی سنجه رسوب فاؤ

Fig. (9): FAO sediment rating curve



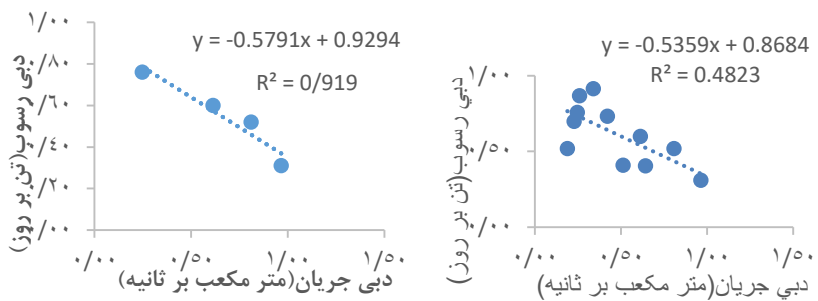
شکل (۱۲) منحنی سنجه رسوب فصلی بهار

Fig. (12): Spring seasonal sediment rating curve

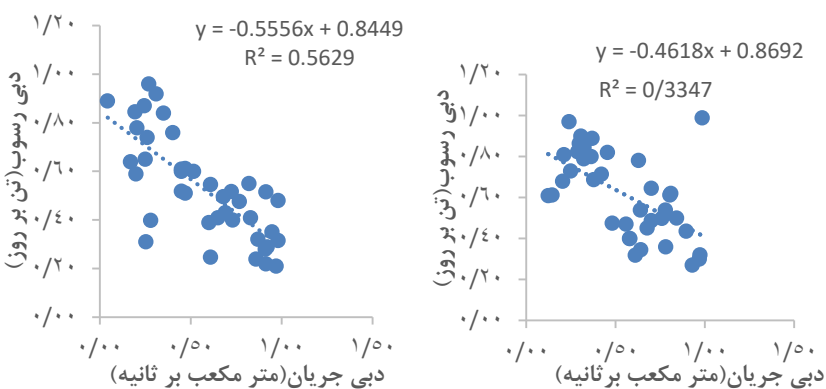


شکل (۱۱): منحنی سنجه رسوب فصلی زمستان

Fig. (11): Winter seasonal sediment rating curve



شکل (۱۳): منحنی سنجه رسوب فصلی تابستان
Fig. (13): Summer seasonal sediment rating curve



شکل (۱۴): منحنی سنجه دوره مشابه هیدرولوژیکی A
Fig. (14): Similar hydrological period rating curve A

شکل (۱۳): منحنی سنجه رسوب فصلی تابستان
Fig. (13): Summer seasonal sediment rating curve

بررسی و نتایج حاصل از نمودارهای همبستگی داده‌ها و روابط رگرسیونی نشان می‌دهد که ضرایب تصحیح CF و CF2 در مدل فائق نسبت به دو روش USBR خطی و روش حد وسط کمترین میزان خطا در برآورد رسوب معلق ارائه داده است (جدول ۱). با توجه به مقدار دبی جریان رودخانه‌ی آبشینه به مقدار $5/2$ متر مکعب بر ثانیه، میزان رسوبات معلق بر حسب تن در روز برای کل دوره‌ی آماری (۱۰ سال) $3452/17$ تن محاسبه گردید که برای هر سال به طور متوسط معادل $345/217$ تن به دست آمد و نشان می‌دهد که با میزان رسوبات اندازه‌گیری شده در سال ۹۱ به مقدار $245/877$ تن، هم‌خوانی بسیار خوبی دارد. با توجه به اینکه مدل‌های مورد استفاده در این بررسی جز مدل‌های فیزیکی می‌باشند و از خصوصیات مدل‌های فیزیکی برآورد جمعی و تخمینی بار معلق می‌باشد. حصول این نتیجه با توجه به توانایی مدل نسبت به مدل‌های عددی و ریاضی قابل قبول و در مقایسه با سایر مدل‌های فیزیکی مشابه خود از دقت بیشتری برخوردار است. بررسی‌ها نشان می‌دهد

که مدل دوره‌ی مشابه هیدرولوژیکی با بیشترین درصد خطای نسبی به میزان ۱۰۰/۳۴ به همراه مقادیر پایین ضریب همبستگی، به عنوان نامناسب‌ترین روش برآورد رسوب معلق در حوضه می‌باشد. بررسی جدول (۱) نشان می‌دهد که در مدل فائق پراکنش نقاط کم و خطای ناشی از تبدیل لگاریتمی به حداقل رسیده، ولی در مدل‌های دیگر، داده‌ها دسته‌بندی نشده و فراوانی داده‌های دبی پایه بر مقادیر ضرایب منحنی سنجه رسوب، تأثیر زیادی داشته و دقت مدل‌ها را کاهش داده است، به طوری که در مدل‌های حد وسط دسته‌ها، USBRخطی و هیدرولوژیکی داده‌های استثنایی با مقادیر رسوب زیاد در زوج متناظر دبی جریان و رسوب، باعث افزایش مقادیر برآورده روابط مدل‌ها شده، درحالی که تأثیر کمی بر افزایش مقدار رابطه‌ی مدل FAO داشته است و نشان می‌دهد که معادله‌ی FAO میزان رسوب معلق محاسباتی را با دقت خوبی برآورد می‌نماید. در مدل‌های فصلی نیز مشاهده می‌شود که بیشترین مقدار بار رسوبی معلق مربوط به فصل بهار و ناشی از نوع کاربری و همچین شدت بالای باران‌های فصلی در حوضه‌ی آبریز سد آبشنیه همدان می‌باشد.

جدول (۱): نتایج مقادیر معیارهای انتخاب مدل بهینه

Tab. (1): Results of the values of the optimal model selection criteria

رابطه‌ی رگرسیونی توانی	CF2	CF1	روش‌ها	MSE	RME	R ²	
Y=0.1526x ² +0.0206x-0.138	1.97	1.87	USBR (خطی)	۰/۰۴۰۱	۱۰۰/۳۰	۰/۴۴۶۳	
Y=1.0359x ² -1.0402+1.55	1.46	1.24	فائق	۰/۰۰۰۱	۹۹/۵۸	۰/۹۹۸۴	
Y=0.0247x ² +1.3501x	3.01	2.43	حد وسط دسته‌ها	۰/۰۰۰۶	۹۹/۶۶	۰/۹۸۹۲	
Y=0.3821x ² +0.6231x-0.116	1.08	1.065				۰/۵۶۹	
Y=0.5246x ² +0.8355x-0.213	1.04	1.0895		۰/۱۹۴۲	۱۰۰/۳۱	۰/۳۲۸۲	
Y=0.7821x ² +0.9231x-0.716	1.16	1.1328	فصلی	۰/۵	۱۰۰/۳۱	۰/۴۴۹۱	
Y=0.1821x ² +0.2231x-0.016	0.03	0.0231				۰/۹۱۹	
Y=0.2564x ² +0.1538x-0.009	1.56	1.342	دوره مشابه		A	۰/۴۸۲۳	
Y=0.3583x ² +0.6854x-0.549	1.76	1.243	هیدرولوژی	۰/۰۳۹۷	۱۰۰/۳۴	B	۰/۵۶۲۹
Y=0.4871x ² +0.8564x-0.201	1.87	1.126	کی		C	۰/۳۳۴۷	

بررسی‌ها نشان می‌دهد که مدل‌های مختلف هیدرولوژیکی نتایج متفاوتی نسبت به هم داشتند. در مدل بدون تقسیم‌بندی داده‌ها، مدل فائق با کمترین درصد خطای نسبی و میانگین توان دوم خطای ترتیب به میزان ۹۹/۵۸ درصد و ۰/۰۰۰۱ به عنوان مدل مناسب انتخاب و روش بهینه آن نیز به صورت رابطه‌ی ۱۷ محاسبه شد (جدول ۲). بررسی‌ها نشان می‌دهد مقادیر اصلاحی CF2.CF1 دبی جریان و دبی رسوبی رودخانه آبشنیه

همدان در خصوص نمونه‌های استفاده شده دارای درصدی از خطای باشد، که با اعمال ضریب اصلاحی CF1، CF2 اصلاح و در مراحل بعدی در مدل‌ها استفاده شد (جدول ۳).

$$Q_s = 0.9875 Q_w^{0.0721} \quad (17)$$

جدول (۲): درصد خطای نسبی بین نتایج محاسباتی و مشاهداتی برآورد رسوب حوضه‌ی آبریز آبشینه

Tab. (2): Percentage of relative error between computational and observational results of sediment estimation of Abshinah Watershed

FAO	رسوب اندازه‌گیری شده از سال ۹۱		MSE	RME
	رسوب برآورده توسط	۲۴۵/۸۷۷		
۳۴۵/۲۱۷			۰/۰۰۰۱	۹۹/۵۸

جدول (۳): داده‌های ضریب اصلاحی حوضه‌ی آبریز آبشینه (دبی جریان و دبی رسوبی، CF2، CF1)

Tab. (3): Abshinah Watershed Correction Coefficient Data (Flow and Sediment Flow, CF1, CF2

CF2	دبی رسوبی CF2	دبی جریان CF2	CF1	دبی جریان CF1	دبی رسوبی CF1	(t/d)	دبی (m³/se)
۲/۷۳	۳/۸۵	۱/۵۶	۲/۳۴	۰/۴۱۱۲۶۴	۰/۲۸		
۲/۶۸	۳/۵۹	۱/۴۹	۳/۴۳	۴۰/۱/۵۸۶	۴/۳۵		
۴/۹۳	۵/۹۱	۲/۳۴	۳/۶۵	۴۷۱۳/۳۸۹	۶/۱		
۱/۶۷	۲/۱۲	۰/۹۸	۱/۶۵	۲۲/۳۹۳۲	۲/۵۳		
۰/۹۴	۱/۸۵	۱/۰۷	۱/۸۷	۳/۷۷۹۰۲	۰/۵۹		
۱/۸۶	۱/۶۰	۱/۸۷	۱/۰۹	۲/۴۵۱۷۳	۰/۸۷		
۳/۶۵	۴/۸۹	۱/۵۶	۲/۶۴	۱۵۳۲/۶۴۳	۵/۶۴		
۴/۸۱	۵/۹۲	۳/۴۱	۴/۵۶	۱۳۵۲/۱۹۲	۷		
۸/۴۵	۱۰/۸۵	۶/۹۳	۸/۸۹	۲۰۴۰۰/۴۱	۳۲/۱		
۷/۲۴	۹/۵۶	۷/۹۱	۹/۶۵	۲۱۸۰/۶۵۳	۱۳/۰۷		
۶/۸۷	۷/۴۱	۵/۷۶	۶/۶۷	۳۶۶۴/۰۳۶	۸/۱		
۲/۰۷	۳/۷۲	۱/۸۶	۲/۷۶	۲۱/۷۷۹۷۱	۴/۶		
۱/۴۱	۰/۸۷	۱/۸۳	۲/۶۲	۱۱/۵۱۱۸۵	۱/۱۵		
۰/۸۱	۱/۰۳	۲/۰۵	۲/۴۵	۰/۶۴۰۴۶۶	۰/۱۱۳		
۶/۴۳	۹/۹۴	۷/۹۱	۹/۸۷	۳۰۸۹/۳۶	۱۷/۴۳		

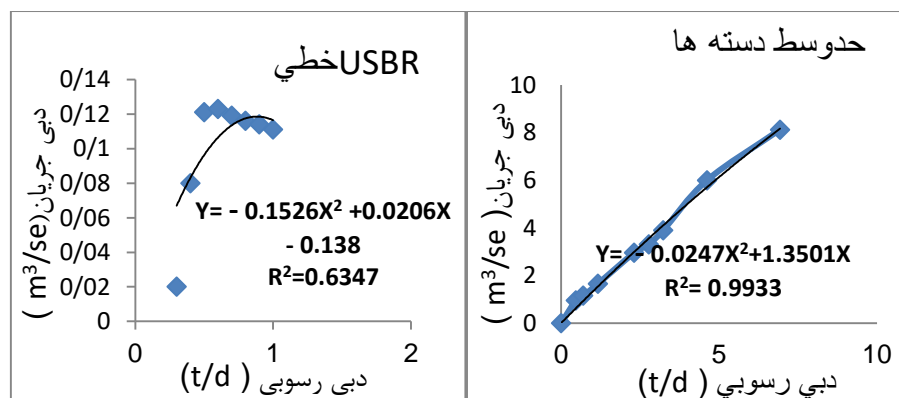
جهت بررسی دقیق‌تر میزان کارایی مدل‌ها در برآورد رسوب متعلق از توابع نمایی و لگاریتی استفاده شد. بررسی شکل ۱۷ نشان می‌دهد که مدل USBR خطی نتواسته برآورد دقیقی از میزان برآورد رسوب متعلق ارائه دهد،

چرا که معادله تابع نمایی (رابطه‌ی ۱۸) را منفی ارائه نموده و ثابت می‌کند که در طی زمان میزان برآورد رسوب معلق کاهش می‌یابد که این امر با توجه به داده‌های مشاهداتی امری غیرواقعی به نظر می‌رسد و مطابقت ندارد.

$$Y = -0.1526x^2 + 0.0206x - 0.138 \quad (18)$$

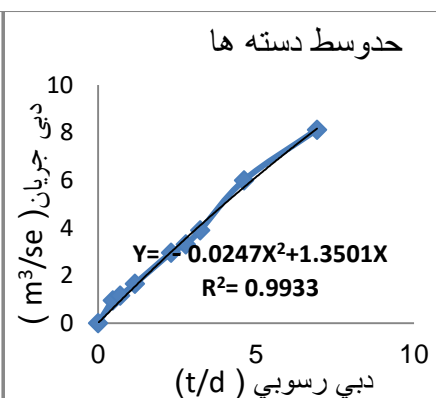
در توابع حد وسط دسته‌ها ایراد اصلی اینست که میزان پراکندگی داده‌های آماری در این مدل مد نظر قرار نمی‌گیرد و با استفاده از روش درون‌یابی^۱ فقط به پردازش تعداد محدودی از داده‌های آماری می‌پردازد و همین امر باعث شده معادله تابع نمایی رسوبی نیز در این مدل بصورت منفی باشد (رابطه‌ی ۱۹). بنابراین در مدل حد وسط میزان برآورد رسوب معلق در طی زمان کاهش می‌یابد که این روش نیز همانند تابع USBR خطی با توجه به داده‌های مشاهداتی امری غیرواقعی به نظر می‌رسد (شکل ۱۸).

$$Y = -0.0247x^2 + 1.3501x \quad (19)$$



شکل (۱۸): نمودار حد وسط دسته‌ها برآورد رسوب معلق

Fig. (18): Intermediate categories Diagram of suspended sediment estimation

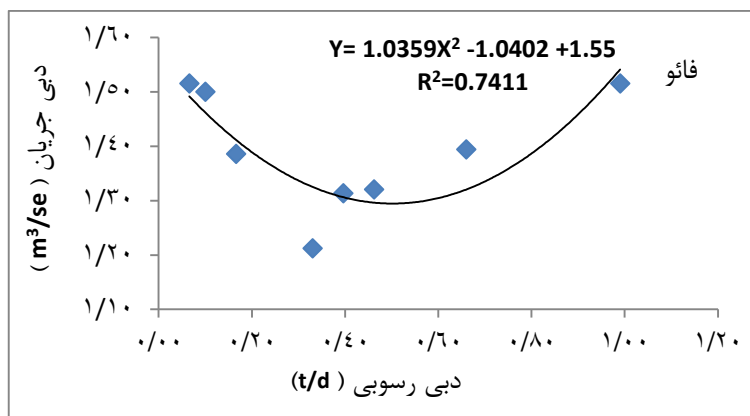


شکل (۱۷): نمودار USBR برآورد رسوب معلق

Fig. (17): USBR diagram of suspended sediment estimation

اما بررسی شکل ۱۹ نشان می‌دهد که مدل فائق از دقت و کلاری بیشتری در زمینه‌ی برآورد رسوب معلق رودخانه‌ی سد آبشنیه برخوردار است و بیانگر این است که رابطه‌ی تابع نمایی (رابطه‌ی ۲۰) مثبت محاسبه شده و ثابت می‌کند که مدل فائق با دقت بیشتری میزان رسوب معلق را در طی زمان ارزیابی می‌کند که این امر نیز به دلیل بررسی پارامترهای بیشتر در شرایط مرزی در مدل فائق می‌باشد.

$$Y = 1.0359x^2 - 1.0402x + 1.55 \quad (20)$$



شکل (۱۹): نمودار برآورد رسوب معلق حوضه‌ی آبریز آشینه در مدل FAO

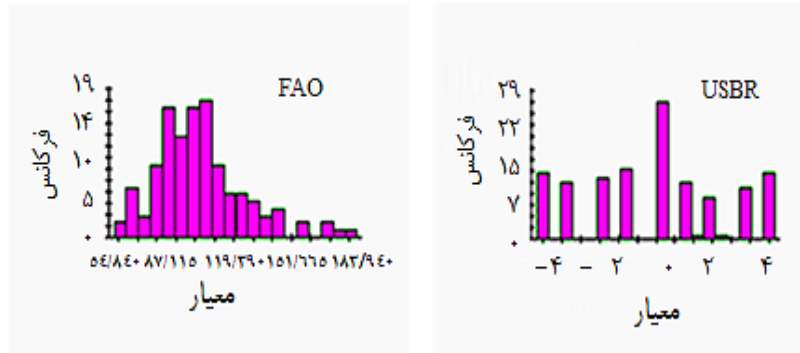
Fig. (19): Estimation diagram of suspended sediment of Abshineh Watershed in FAO model

نتایج مدل GS⁺ نشان می‌دهد که مدل USBR همراه با متغیر اصلی داده‌ها، تا حدودی از توزیع نسبی نرمال و مدل FAO از توزیع کاملاً نرمال تبعیت می‌کنند. جدول ۴ و اشکال (۲۰ و ۲۱).

جدول (۴): نتایج بررسی روش FAO و USBR در نرم افزار Gs⁺

Tab. (4): Results of FAO and USBR methods in Gs⁺ software

مدل	انحراف معیار	آزمون واریانس	چولگی
USBR	۲/۴۴۵۹	۵/۹۸	۰/۰۷
FAO	۲۴/۹۱۴۵	۶۲۰/۷۳	۰/۹۹



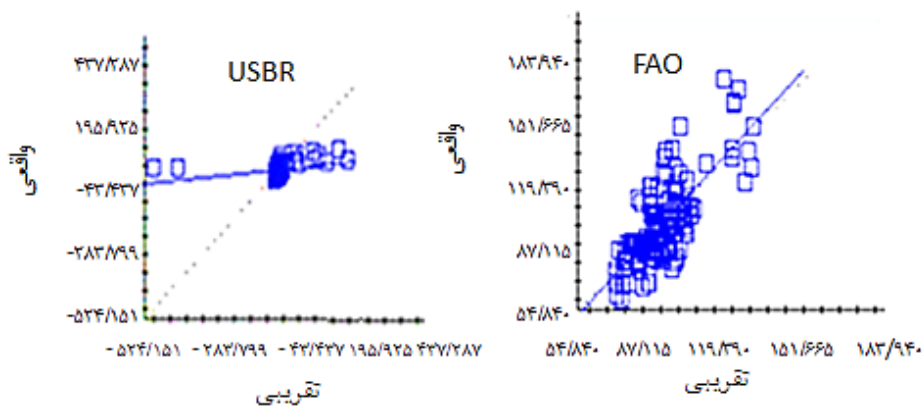
شکل (۲۱): نمودار مقادیر توزیع فراوانی روش FAO

Fig. (21): Graph of frequency distribution values of FAO method

شکل (۲۰): نمودار مقادیر توزیع فراوانی روش USBR

Fig. (20): Graph of frequency distribution values of USBR method

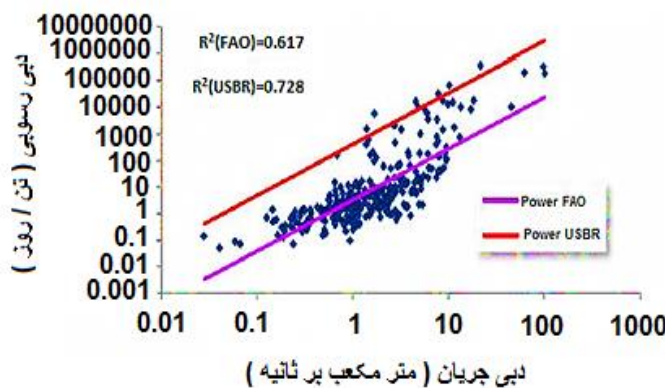
نتایج تحلیل داده‌ها با استفاده از روش کریجینگ در مدل‌های FAO و USBR نشان می‌دهد که خط رگرسیونی برآش داده شده در روش USBR نسبت به خط $y=x$ دارای انطباق خوبی نبوده و تحلیل کامل و دقیقی از داده‌های مشاهداتی رسوب ارائه نکرده است. اما در مدل FAO داده‌های محاسباتی نسبت به خط رگرسیونی برآش داده شده $y=x$ از انطباق بالا و خوبی برخوردار است (شکل ۲۲). نتایج نشان می‌دهد که برآورد رسوب توسط مدل‌های FAO، USBR از دقت قابل قبول و خوبی نسبت به مدل‌های حد وسط داده‌ها و مشابه هیدرولوژیکی برخوردارمی باشند و مدل حدوسط داده‌ها بین دو مدل FAO و USBR واقع شده و زمانی بایستی مورد استفاده قرار گیرد که دو مدل دیگر برآورد دقیقی ارائه نکرده باشند.



شکل (۲۲): نتایج تحلیل مقادیر واقعی و برآورده روش FAO و USBR با استفاده از روش کریجینگ

Fig. (22): Results of analysis of real values and estimation of FAO and USBR methods using kriging method

همچنین نتایج حاصل از خروجی مدل Gs^+ و مقایسه‌ی برآورد میزان رسوب نشان می‌دهد که برآورد میزان رسوب تن در روز در روش FAO با $R^2=0.728$ و در روش USBR با $R^2=0.617$ دارای تطابق بیشتر و از برآش رسوبی خوبی با داده‌های مشاهداتی برخوردار بوده و رسوب معلق رودخانه‌ی سد آبشنیه را با دقت بیشتری برآورد نموده است (شکل ۲۳).



شکل (۲۳): نتایج مقایسه‌ی برآورد میزان رسوب در روش‌های USBR و FAO در مدل Gs^+
Fig. (23): Comparison results of sediment estimation in USBR and FAO methods in Gs^+ model

۴-نتیجه‌گیری

با توجه به هزینه بالای لایروبی مخزن سدها جهت برآورد بار رسوبی، استفاده از مدل‌های آماری و ریاضی منطقی به نظر می‌رسد. از طرف دیگر برآورد بار رسوبی با استفاده از معادلات رگرسیونی منحنی سنجه به دلیل سهولت باعث کاربرد فراوان این روش‌ها در برآورد بار معلق رودخانه‌ها شده، و از آنجایی که در این معادلات تنها یک متغیر مستقل وارد می‌شود، لذا قادر به پیش‌بینی دقیق و صحیح مقدار بار معلق و رسوبی واقعی نمی‌باشدند. بنابراین باید سعی شود با اعمال شرایط یا تغییراتی در آن‌ها از جمله دسته‌بندی داده‌ها و استفاده از سایر مدل‌ها خطای برآورد رسوب را کاهش داد. در این تحقیق داده‌های متناظر دبی جریان و رسوب حوضه‌ی آبریز سد آبشینه‌ی همدان، با استفاده از مدل‌های USBR، منحنی حد وسط دسته‌ها، منحنی سنجه فصلی و FAO بررسی شد و ضمن نمونه‌برداری مستقیم و با استفاده از روش اصلاحی تبدیل لگاریتمی، کریجینگ و مدل Gs^+ ، مدل‌ها ارزیابی و بهترین و مناسب‌ترین مدل برآورد دیار معلق رودخانه‌ی سد آبشینه تعیین شد. نتایج نشان داد که مدل فائق در برآورد میزان رسوب معلق رودخانه با ضرایب تصحیح $CF_1=1.24$ و $CF_2=1.46$ و مدل USBR خطي با $CF_1=1.87$ و $CF_2=1.97$ و حد وسط با $CF_1=2.43$ و $CF_2=3.01$ از دقت بیشتری برخوردار است. نتایج خروجی مدل Gs^+ و مقایسه‌ی برآورد میزان بار معلق در مدل‌ها نشان می‌دهد که مدل FAO به دلیل تطابق و دقت بیشتر، برازش رسوبی دقیق‌تر با داده‌های مشاهداتی و با کمترین خطأ، به عنوان بهترین مدل و روش USBR با تطابق و برازش کمتر با داده‌های مشاهداتی در درجه‌ی بعدی و دوره‌ی مشابه هیدرولوژیکی با بیشترین درصد خطای نسبی به میزان $34/100$ و ضریب همبستگی پایین به عنوان نامناسب‌ترین

مدل برآورد رسوبر معلق در حوضه انتخاب شدند. بررسی‌ها نشان داد که مدل‌های مختلف هیدرولوژیکی نتایج متفاوتی نسبت به هم داشته، به طوری که در مدل بدون تقسیم‌بندی داده‌ها مدل فائق نسبت به سایر مدل‌های دیگر با کمترین درصد خطای نسبی و میانگین توان دوم خطای به عنوان مدل بهینه و مناسب از دقت و کارایی بیشتری جهت برآورد رسوبر معلق به شکل تعديل شده در حوضه‌ی آبریز آشینه همدان برخوردار است که با نتایج حاصله از رئیسی و همکاران (۲۰۱۹) و غلامی و همکاران (۲۰۱۷) از لحاظ روش و دقت نتایج مطابقت دارد. پیشنهاد می‌شود به منظور اطمینان و کارایی بیشتر نتایج حاصل از اجرای مدل‌های شبه دو بعدی، از مدل‌های دیگری مانند River intake نیز استفاده و در روش‌های برآورد بار معلق رودخانه‌ها بازنگری و از روش‌های با کمترین خطای استفاده شود.

۵- منابع

- Abolfathi, D., Madadi, A., & Asghari, S. (2018). Modeling the amount of river sediment using artificial neural network method (Case study: Golrood River), *Journal of Quantitative Geomorphological Research*, 7(2), 208-196.
- Asadi, M., Fathzadeh, A., & Taghizadeh Mehrjerdi, R. (2017). Investigation of the effect of time scale (daily, monthly and annual) on the prediction of suspended sediment load, *Journal of Hydrogeomorphology*, 3(10), 121-143.
- Farajzadeh, M., Heidary, A. A., Mollashahi, M., & Rajabi Rostamabadi, N. (2017). Analysis and comparison of suspended sediment in the Caspian and Central Iran watersheds, *Journal of Hydrogeomorphology*, 3(11), 59-82.
- Gericke, A., Venohre, M. (2012). Improving the estimation of erosion-related suspended solid yields in mountainous, non-alpine river catchments, *Environmental Modelling and Software*, 37, 30-40.
- Gholami, L., Ghorghi, H., Abdollahi, J., Khaledi, Z., & Darvishan, A. (2017). Comparison and evaluation of suspended sediment estimation methods using data classification (Case study: Doork Merk, Shirgah and Krikla water stations), *Journal of Water Resources Research Iran*, 13(3), 187-193.
- Honarbakhsh, A., Fashin Niazi, A., Soltani, A., & Tahmasebi, P. (2019). Modeling the relationship between suspended sediments and hydrological and environmental characteristics of the basin (Case study: Dez Dam basin), *Quantitative geomorphological research*, 8(1), 105-117.
- Hu, B., Wang T.H., Yang, Z., & Sun, X. (2011). Temporal and spatial variations of sediment rating curves in the Changjiang (Yangtze River) Basin and their Implications, *Quaternary International*. 230: 34-43.
- Iqbal, M., Ghuman, A.R., Haider, S., Hashmi, H. N., & Khan, M. A. (2019). Application of Godunov type 2D model for simulating sediment flushing in a reservoir, *Arabian Journal for Science and Engineering*, 44(5), 4289-4307.
- Karami, F., Bayati Khatibi, M. (2019). Modeling soil erosion and prioritizing sediment production in Sattarkhan Ahar dam basin using MUSLE and SWAT models, *Journal of Hydrogeomorphology*, 18, (23), 119-141.
- Lai, Y.G., & Wu, K. (2019). A Three-Dimensional Flow and Sediment Transport Model for Free-Surface Open Channel Flows on Unstructured Flexible Meshes, *Fluids*, 4(1), 18-28.
- Nasseri, F., Azari, M., Dastarani, M. T. (2018). Optimization of Coefficients of Sediment Measurement Equations Using Genetic Algorithm (Case Study: Ghazaghli and Bagh-Abbasi Stations), *Iranian Journal of Irrigation and Water*, 9(3), 82-98. (In Persian).

- Noorani, V., & Mohsenzadeh, S. (2017). Estimation of Monthly Sediment Load of Aji Chai Basin Stations Using MPSIAC Model and Waterfall Microscale, Artery, *Journal of Hydrogeomorphology*, 3(11), 83-103.
- Ouda, M. (2019). *Multiphase Modelling of Sediment Transport and Bed Erosion for the Study of Coastal Morphodynamics*, KULEuven, Technology Campus Brugge, Belgium, October 2019.
- Raeisi, M., Najafinejad, A., & AzimMohseni, M. (2019). Investigation of time phenomena of sediment measurement curve and its comparison with several statistical methods for estimating suspended sediment load (Case study: Gamasab watershed), *Journal of Basin Management Watershed*, 20, 83-96.
- Ramezanipour, E., Mosaedi, A., & Mesdaghi, M. (2017). Determining the most appropriate method for estimating suspended sediment based on error statistics (Case study -a number of sub-basins), *Watershed Management Research Journal*, 8 (15), 112-124.
- Zahiri, A. R., Qoli Nejad, J., & Dehghani, A. (2018). Calculation of transverse distribution of river sediments using a quasi-two-dimensional mathematical model (Case study: Qarasu River), *Journal of Water Resources Engineering*, 11(38), 83-93.
- Zhang, W., Wei, X., Jinhai, Z., Yuliang, Z., & Zhang, Y. (2012). Estimating suspended sediment loads in the Pearl River Delta region using sediment rating curves, *Continental Shelf Research*, 38, 35-46.